

افراز شبکه‌های المان‌های محدود توافقی با استفاده از روش تنصیف طیفی

علی داوران
دانشجوی دکترا

علی کاوه
استاد

دانشکده مهندسی عمران، دانشگاه علم و صنعت ایران
و مرکز تحقیقات ساختمان و مسکن

چکیده

در این مقاله ابتدا مسئله افراز شبکه المان محدود توافقی به مسئله افراز گراف وزن دار متناظر آن تبدیل می‌گردد. سپس روش گراف تئوری جبری موسوم به «تنصیف طیفی»، برای تنصیف گراف‌های وزن دار تعیین داده می‌شود. با استفاده از این روش می‌توان شبکه‌های المان محدود توافقی را قبل از ایجاد شبکه ریز نهایی افراز نمود و در نتیجه پرسه افراز را در زمان کمتر و با کارآبی بیشتر انجام داد. برتری دیگر این روش در آن است که به جای ایجاد شبکه ریز برای کل دامنه می‌توان آن را به طور موازی و مجزا و برای هر یک از زیردامنه‌ها انجام داد. روش پیشنهادی با روش «ایجاد زیرناحیه‌ای» مقایسه گردیده و با ارائه مثال‌هایی عملکرد این روش نشان داده شده است.

Domain Decomposition of Adaptive Finite Element Meshes Using Spectral Bisection Method

A. Kaveh
Professor

A. Davaran
P.h.D. Student

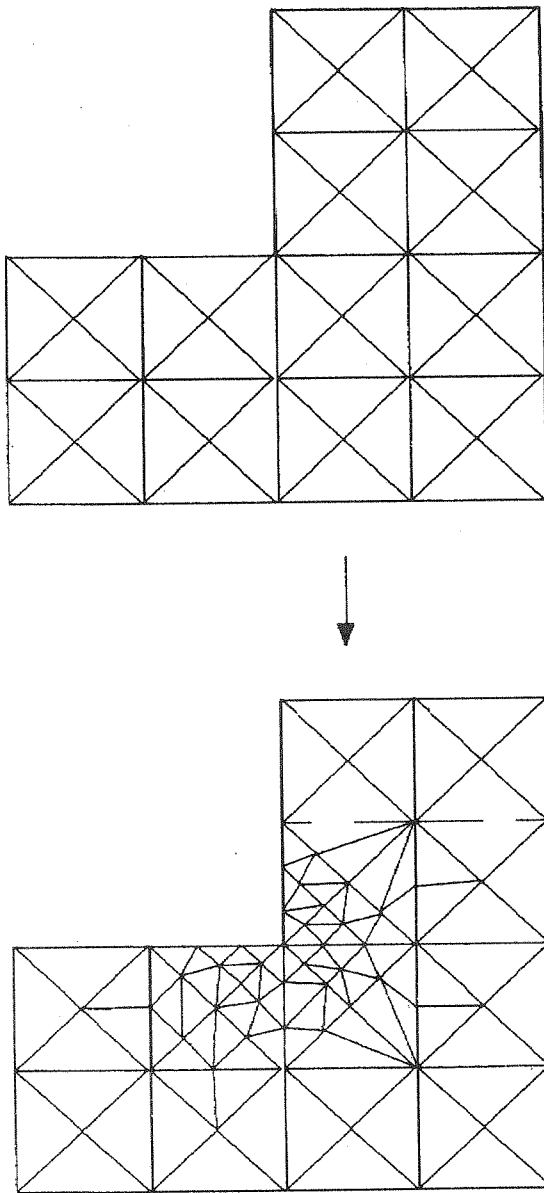
Iran University of Science and Technology
and Building and Housing Research Center

Abstract

In this paper, the problem of domain decomposition of finite element meshes is transferred into the bisection of weighted graphs. The application of the algebraic method known as spectral bisection is generalized to weighted graphs. Employing this method, finite element methods can be decomposed before refinement, and therefore decomposition can be performed in a much efficient and economical manner. An additional advantage of this method lies in its suitability for parallel mesh refinement. The proposed method is compared to subdomaining approach through examples.

۱- مقدمه

صورت مستقل در زیردامنه ها انجام داد که این کار امکان پردازش موازی تولید داده را مهیا می سازد.



شکل (۱) شبکه درشت و شبکه ریز توافقی.

روش تنصیف طیفی یکی از روش های مهم می باشد که برای افزار دامنه به کار رفته است [۵]. این روش براساس نظریه گراف تئوریکی جبری استوار است که در ابتدا برای جداسازی ماتریس های پر صفر پیشنهاد شده بود [۶]. روش مذبور برای شبکه های نامنظم (گراف نامنظم) غیر توافقی، قابل استفاده است. در این مقاله

هدف از تحلیل المان محدود توافقی، یافتن شبکه ای از المان های محدود است که در آن با حداقل درجه آزادی بتوان خطای تحلیل را به مقدار معین محدود نمود [۱]. در حقیقت با توجه به موقعیت گوشه های تیز و سایر ناهنجاری های هندسی که منشاء خطای هستند، باید توزیع المان ها به گونه ای باشد که خطای در کلیه المان ها تقریباً با هم مساوی گردد. مسلمانآ در جایی که تکینی محلي وجود دارد، خطای بیشتر خواهد بود و باید تعداد المان ها را افزایش داد.

در روش حلقه بندی توافقی ابتدا دامنه با یک شبکه درشت متتشکل از تعداد کمی المان ها پوشانده می شود و سپس تحلیل صورت می گیرد. با استفاده از نتایج این تحلیل، خطای در المان ها تخمین زده می شود و پارامترهای تجدید شبکه برای المان ها و گره ها تعیین می گردد و سپس حلقه بندی ریز نهایی با چگالی متغیر ایجاد می شود. شبکه ریز ممکن است چندین صد یا هزار برابر بیش از شبکه درشت، المان داشته باشد.

در صورتی که تحلیل شبکه ای به صورت موازی و یا به روش زیرسازه ها انجام شود، افزار شبکه لازم خواهد بود. برای اولین بار در سال ۱۹۹۲، این فکر مطرح گردید که افزار بر روی شبکه درشت به گونه ای انجام شود که ملاک های بهینگی افزار برای شبکه ریز تأمین گردد [۲-۴]. این روش به روش ایجاد زیرنایه ای (SGM) موسوم است و ملاک های اصلی بهینگی آن عبارتند از:

۱- تعداد المان ها در زیردامنه ها تا حد امکان با یکدیگر برابر باشند.

۲- تعداد گره ها یا لبه های واقع در فصول مشترک زیردامنه ها حداقل باشد.

۳- زیردامنه ها دارای اقطار تقریباً مساوی باشند، به عبارت دیگر ضریب شکلی هر چه نزدیکتر به واحد داشته باشند.

بدیهی است آگاهی قبلی از تعداد المان های ریز که در داخل المان های درشت تولید خواهد شد، ضروری است. برای این کار از تخمین های مختلفی می توان استفاده نمود که یکی از آنها بکارگیری شبکه عصبی تغذیه مستقیم است. در روش SGM برای تنصیف از الگوریتم ژنتیک استفاده می شود. یکی از مزایای این روش افزار یا تنصیف دامنه با تعداد قلیلی از المان ها بوده و بنابراین آسان تر انجام می شود. دیگر اینکه بعد از افزار شبکه درشت، می توان تولید شبکه ریز را به

کوچکتر به یک زیر دامنه و نیمه دیگر که شامل درآیه های بزرگ ترند، به زیر دامنه دوم تعلق می گیرند.

با اجرای این سه گام، تنصیف گراف کامل می شود. حال اگر روی هر کدام از نیمه های حاصل روش مزبور تکرار شود، تعداد $N_p = 4$ چهار زیر دامنه تولید خواهد شد. با تکرار این الگوریتم به صورت برگشتی $N^{NR} = 2^2$ زیر دامنه به دست خواهد آمد. NR نشانگر تعداد تکرارها می باشد.

مراحل انجام این الگوریتم روی یک شبکه کوچک در شکل ۲ نمایش داده شده است. در مورد این روش توجه به چند نکته زیر ضروری است:

الف - لابلسین یک ماتریس، مثبت و نیمه معین است و بردار $\lambda_1, \lambda_2, \dots, \lambda_n$ زوج ویژه اول این ماتریس هستند [5].

ب - تعداد لبه های مشترک بین دو زیر دامنه برابر است با:

$$|c(x)| = \frac{1}{4} \sum_{(i,j) \in I} (x_i - x_j)^2 = \frac{1}{4} x^T L x \quad (3)$$

که I مجموعه کلیه لبه های مشترک بین هر دو المان از شبکه می باشد. بردار منصف x برداری است متشکل از تعداد مساوی -1 و $+1$ که مؤلفه های $+1$ مربوط به المان های واقع در یک زیر دامنه و مؤلفه های -1 مربوط به المان های نصفه دیگر است.

ج - مقدارتابع $|c(x)|$ به ازای $v_2 = v_1$ کمینه می شود، ولی این به معنی یافتن جواب قطعی افزار نیست. زیرا همانگونه که قبل اشاره شد، مسئله افزار یک مسئله NP-Complete است و بهینه بودن جواب

قطعیت ندارد. در حقیقت فکر ریاضی گونه ای که در این روش وجود دارد در گام (ج) نهفته است. ما در حقیقت در جستجوی برداری هستیم که فقط از دو عدد صحیح $+1$ و -1 تشکیل شده باشد و در آن تعداد $(+1)$ ها با تعداد (-1) ها مساوی و یا به مقدار واحد اختلاف داشته باشد، به طوری که اگر این بردار را با x نشان دهیم، رابطه زیر برقرار باشد:

$$V_1^T \cdot x = 0. \quad (4)$$

روش تنصیف طیفی برای حل مسائل افزار گراف های وزن دار تعمیم داده شده است. باتوجه به این که شبکه های توافقی را می توان به فرم گراف های وزن دار تبدیل نمود، بنابراین می توان از تنصیف این گراف ها، شبکه های توافقی متناظر شان را افزار کرد. در بخش ۲ روش تنصیف طیفی توضیح داده می شود و در بخش ۳ نحوه گسترش این روش برای گراف های وزن دار شرح داده می شود. با ارائه دو مثال روش حاضر با روش SGM مقایسه می گردد و سپس سه مثال دیگر از مسائل تنش مستوی با روش پیشنهادی مورد بررسی قرار می گیرد.

۲ - روش تنصیف طیفی برگشتی

این روش ابتدا برای جداسازی ماتریس های پر صفر به وسیله سیمون و پوتن^۳ ارائه شد و سپس سیمون روش مزبور را برای حل مسئله افزار بکار گرفت [6]. در این روش خواص طیفی گراف ها استفاده شده و با حل مسئله مقدار ویژه ماتریسی، موسوم به لابلسین گراف، افزار انجام می گیرد. لابلسین گراف، یک ماتریس $n \times n$ است که به صورت زیر تعریف می شود:

$$L = D - A \quad (1)$$

در این رابطه ماتریس D قطری بوده و درآیه های قطری آن، درجه گره های گراف را نشان می دهد. درجه هر گره تعداد اعضای متصل به گره بوده و n تعداد گره های گراف می باشد. A یک ماتریس متقابران متشکل از درآیه های 1 و 0 است و ماتریس مجاورت گرهی نامیده می شود:

$$a_{ij} = \begin{cases} 1 & \text{اگر دو گره } i, j \text{ متصل باشند.} \\ 0 & \text{اگر دو گره } i, j \text{ متصل نباشند.} \end{cases} \quad (2)$$

گام های اصلی روش تنصیف طیفی برگشتی^۴ (RSB) به قرار زیر است:

الف - تبدیل شبکه المان محدود به گراف مزدوج یا وابسته^۵ و تشکیل لابلسین گراف مزدوج.

ب - یافتن مقدار ویژه و بردار ویژه دوم^۶ گراف [7].

ج - مرتب کردن صعودی درآیه های بردار ویژه دوم لابلسین. نیمی از المان ها که مربوط به درآیه های

۳- تبدیل دامنه المان محدود توافقی به گراف وزن دار

در این بخش تبدیل مسئله افزایش شبکه المان محدود توافقی به مسئله ریاضی افزایش گراف های وزن دار مطرح می شود. برای این تبدیل باید از تعداد و توزیع المان ها در شبکه ریز نهایی یک آگاهی اولیه و تقریبی در اختیار باشد. این آگاهی اولیه از دو طریق حاصل می آید:

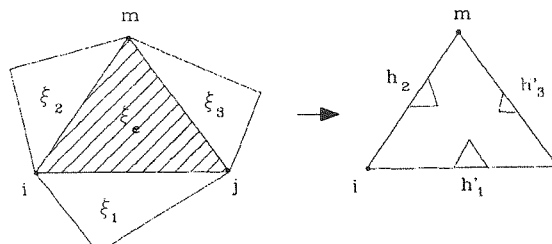
روش اول: استفاده از یک شبکه عصبی مستقیم که با داشتن ۶ پارامتر که ۳ تای آن مربوط به پارامترهای تجدید شبکه و ۳ تای دیگر مربوط به طول اضلاع هستند، تعداد المان های ریز داخل المان درشت تخمین زده می شود.

روش دوم: در این روش تعداد المان های ریز به صورت دیگری تخمین زده می شود که نتایج استفاده از آن در این مقاله نیز رضایت بخش بوده است. یک المان مثلثی در مجاورت ۳ المان دیگر در شکل ۲ نشان داده شده است. طول اضلاع jz و im و mj به ترتیب با h_1 و h_2 و h_3 نشان داده شده اند. برای ضلع zj واسطه توافقی ζ_{ij} و ζ_{ji} به عنوان پارامتر ضلع zj در نظر گرفته می شود:

$$\zeta_{ij} = \frac{2\zeta_e \zeta_1}{\zeta_e + \zeta_1} \quad (5)$$

اگر نسبت h/h را که تقریباً نشانگر تعداد لبه های ریز تشکیل شده روی لبه درشت است با ζ_e نشان دهیم، در این صورت داریم:

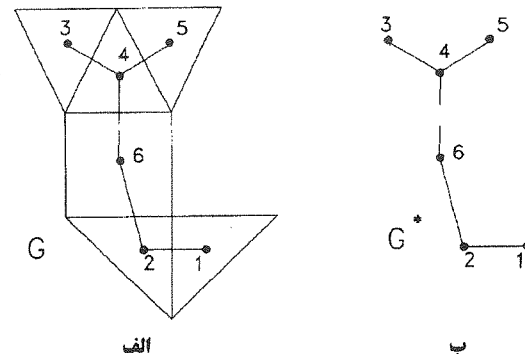
$$\zeta_{ij} = \frac{2\zeta_e \zeta_1}{\zeta_e + \zeta_1} \quad (6)$$



شکل (۳) یک المان مثلثی که توسط ۳ المان دیگر احاطه شده است.

به همین ترتیب تعداد لبه های ریز zj و e_{jm} حساب می شوند:

$$e_{im} = \frac{2\zeta_e \zeta_2}{\zeta_e + \zeta_2}; \quad e_{jm} = \frac{2\zeta_e \zeta_3}{\zeta_e + \zeta_3} \quad (7)$$



$$L = \begin{bmatrix} 1 & -1 & 0 & 0 & 0 & 0 \\ -1 & 2 & 0 & 0 & 0 & -1 \\ 0 & 0 & 1 & -1 & 0 & 0 \\ 0 & 0 & -1 & 3 & -1 & -1 \\ 0 & 0 & 0 & -1 & 1 & 0 \\ 0 & -1 & 0 & -1 & 0 & 2 \end{bmatrix}_{6 \times 6} \quad \lambda_2 = 0.32487; \quad V_2 = \begin{bmatrix} -1.0474 \\ -0.7071 \\ 0.7071 \\ 0.4774 \\ 0.7071 \\ -0.1371 \end{bmatrix}$$

شکل (۴) مراحل روش RSB روی یک شبکه کوچک

(الف) شبکه FE، (ب) گراف مزدوج، (ج) لپلاسین گراف.

(د) مقدار و بردار ویژه دوم لپلاسین.

این شرط تعامد، تعادل بین دو زیر ناحیه را از نظر تعداد المان ها برآورده می کند.

شرط دوم حداقل شدن تابع $(x)c$ می باشد که معادل یافتن بردار ویژه دوم ماتریس L است. این بردار ویژه از اعداد حقیقی تشکیل یافته است. جایگزین کردن نصف کوچکتر با (-1) و نصف بزرگتر با (+1) فرض معقولی است که فاقد استدلال ریاضی است و به همین علت به جواب زیربهینه باید اکتفا نمود.

روش تصنیف طیفی غالباً به جواب های بسیار مطلوب می رسد و بنابراین در اکثر روش های مبنی بر پردازش موازی از آن استفاده می شود. همچنین افزایش که از این الگوریتم حاصل می شود از نوع انقطع آشیانه ای است که قابلیت این روش در تحلیل سازه های بزرگ آشکار شده است. از مزایای دیگر این روش داشتن یک اساس ریاضی ساده و قابل قبول است. با بکارگیری این الگوریتم سازه هایی با بزرگی یک میلیون المان، با ۲۵۶ عدد پردازشگر موازی حل شده اند [8]. ایراد اصلی این روش حجم محاسبات آن در ارتباط با حل مسئله مقدار ویژه $Lx = \lambda x$ است. برای حل مسئله مقدار ویژه از روش لانزووس^۱ استفاده می شود.

به ازای هر یک از این مساحت‌ها، تعداد المان ریز را می‌توان محاسبه کرد و میانگین این سه عدد را تعداد تقریبی المان‌های ریز در داخل المان درشت فرض نمود.

$$\eta = \frac{1}{3} [S_1 + S_2 + S_3] \quad (9)$$

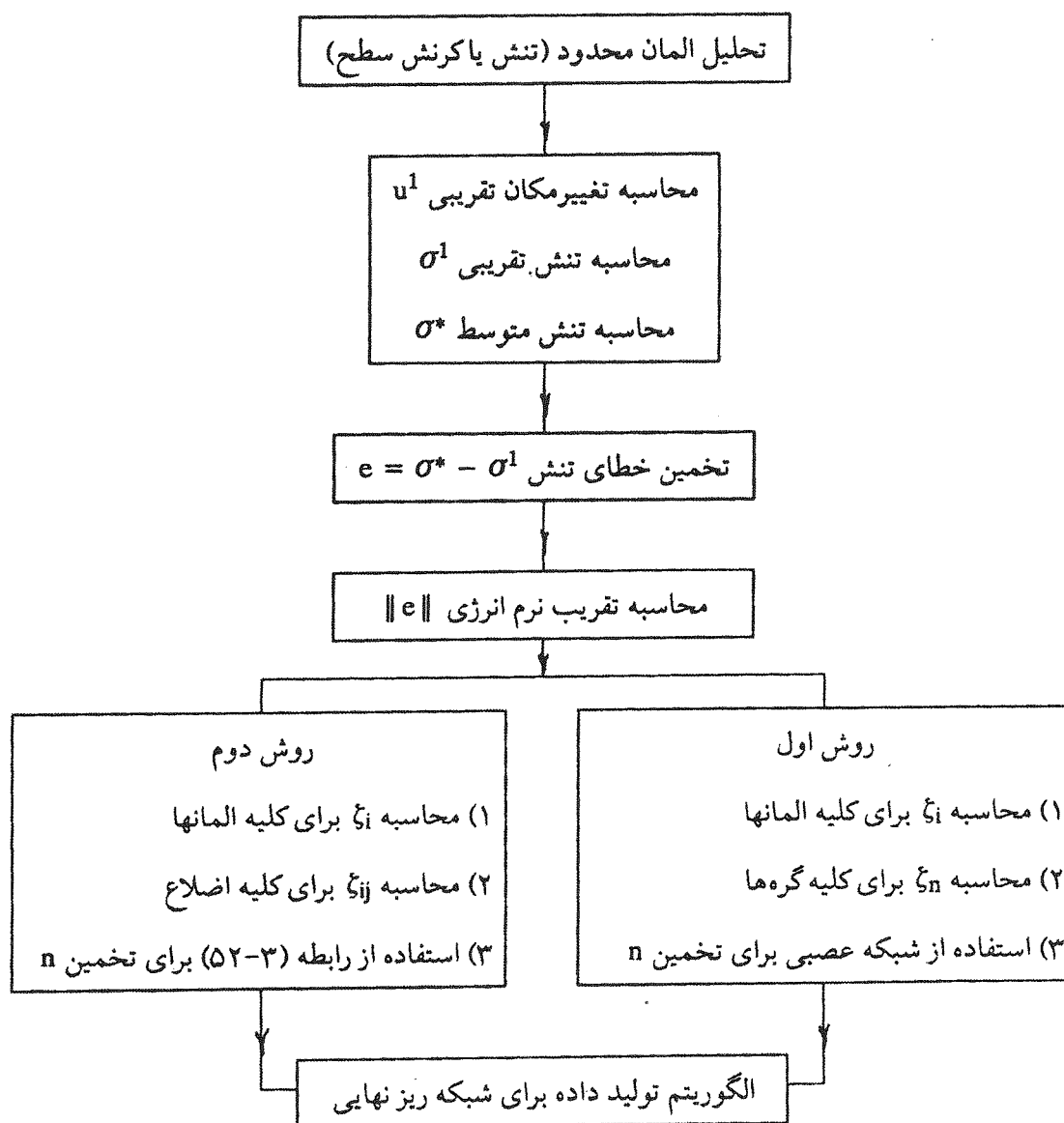
مقایسه این دو روش نشان داده است که روش دوم معمولاً مقدار ۱۰ را در حدود ۱۰ درصد بیشتر حساب می‌کند. ولی این مسئله معمولاً در حل مسئله افزایشی تأثیر است. روند کلی تحلیل خطای ریزسازی توافقی نوع h در شکل ۴ ملاحظه می‌شود.

پس از تعیین تعداد لبه‌های ریز بر روی هر ۲ ضلع مثلث درشت، می‌توان طول ضلع مثلث‌های کوچک نظیر هر ضلع را به ترتیب با h_1 و h_2 و h_3 نشان داده و مساحت مثلث متساوی الاضلاع S_1 و S_2 و S_3 را که با آنها ساخته می‌شود، مشخص نمود.

$$S_1 = \frac{4}{\sqrt{3}} \cdot \frac{1}{h_1^2}$$

$$S_2 = \frac{4}{\sqrt{3}} \cdot \frac{1}{h_2^2}$$

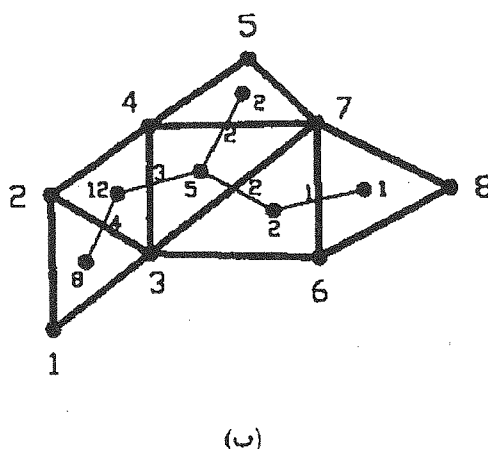
$$S_3 = \frac{4}{\sqrt{3}} \cdot \frac{1}{h_3^2}$$



شکل (۳) روند کلی روش تحلیل خطای ریز و تخمین تعداد المان.

در شکل ۵ یک شبکه درشت و شبکه ریز شده ثانویه آن نشان داده شده است.

با در دست داشتن تعداد المان های ریز در داخل المان درشت و تعداد لبه ریز روی لبه المان درشت، یک گراف وزن دار را می توان از روی شبکه درشت تعریف نمود. گراف وزن دار نظیر یک شبکه در شکل ۶ نشان داده شده است.



شکل (۶) (الف) شبکه ریز نهابی، (ب) گراف وزن دار نظیر شبکه ریز.

گراف وزن دار به این صورت ساخته می شود:

الف - گراف واپسته^۷ نظیر شبکه درشت ساخته می شود.
[10]

ب - وزن هر گره این گراف تعداد تقریبی المان های ریز و وزن هر لبه مساوی تعداد تقریبی لبه های ریز است.

۴- تنصیف طیفی گراف وزن دار

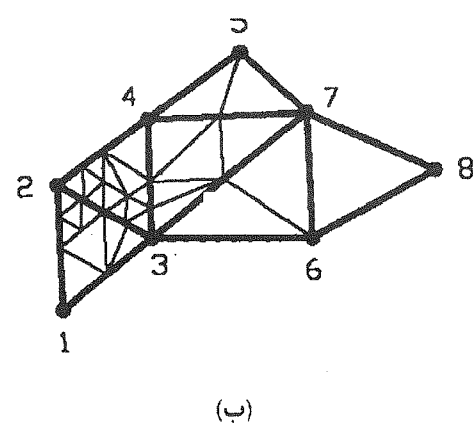
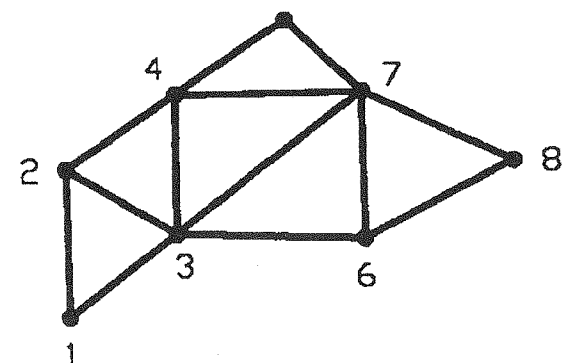
در این بخش روش تنصیف طیفی برای افزایش گراف های وزن دار تعمیم داده شده است [9]. یک گراف وزن دار در حالت کلی دارای اوزان گرهی m_i و اوزان لبه ای e_{ij} است، شکل ۷.

اگر بردار وزن گرهی با M و ماتریس وزن دار لاپلاسین با W نمایش داده شود، داریم:

$$M = [M_i] ; i = 1, \dots, n \quad (10)$$

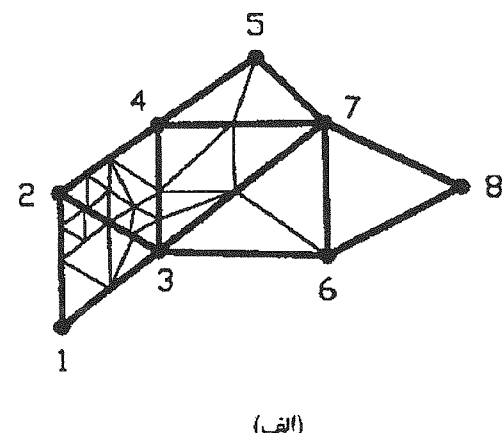
$$W = [W_{ij}] ; i, j = 1, \dots, n \quad (11)$$

$$W_{ij} = \begin{cases} e_i & \text{اگر } j = i \text{ باشد;} \\ -e_{ij} (-e_{ji}) & \text{اگر گره های } i, j \text{ مجاور باشند;} \\ 0 & \text{در غیر این صورت:} \end{cases} \quad (12)$$



شکل (۵) (الف) شبکه المان محدود درشت اولیه،

(ب) شبکه المان محدود ریز شده نهابی.



استفاده کرد.

$$Z = \frac{1}{4} x^T w x + r (x^T M) (M^T x) \quad (17)$$

$$Z = x^T \left(\frac{1}{4} W + r \cdot M M^T \right) x \quad (18)$$

$$Z = x^T L^* x \quad (19)$$

L^* لاپلاسین اصلاح شده است. این ماتریس مثبت - معین است و می توان نشان داد که اولین بردار ویژه آن تابع Z در رابطه (19) را حداقل می کند. به علت ریاضی گونه بودن فرمول بندی فوق، در چندین مثال مشاهده شده است که بردارهای دوم و گاهی سوم نیز بهتر از بردار اول جواب می دهند. بنابراین آخرین مرحله این الگوریتم، حل مسئله مقدار ویژه زیر است که به روش لانزووس انجام می گیرد:

$$L^* u = \lambda u \quad (20)$$

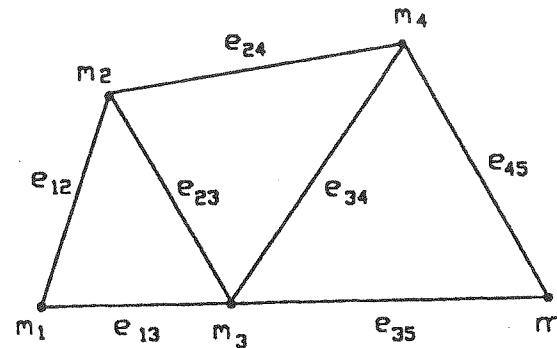
مثال های عددی نشان می دهد، جواب بهینه یکی از ۳ بردار ویژه اول معادله (20) است. بعد از یافتن بردار x ، مؤلفه های آن را به ترتیب صعودی، مرتب می کنیم. به تعداد n_1 المان نظیر مؤلفه های کوچکتر را طوری انتخاب می کنیم که داشته باشیم:

$$\sum_{i=1}^{n_1} m_i = \frac{1}{2} \sum_{i=1}^n m_i \quad (21)$$

واضح است که n_1 رابطه خاصی با $n/2$ نخواهد داشت.

۵- مثال های عددی جهت مقایسه عملکرد روش پشتنهادی SGM و روش ISB

الف - یک دامنه المان محدود که از مرجع [4] انتخاب گردیده و در شکل ۸ نشان داده شده است. نتایج در جدول های و ۲ ارائه شده اند. نتایج روش ISB با خط پرنگ و روش SGN با خط چین ۲ مشخص شده است.



شکل (۷) یک گراف وزن دار در حالت کلی.

در این روابط n تعداد المان درشت، D_i درجه گره i که مجموع اوزان لبه های متصل به گره i است. بردار منصف x برداری با درآمدهای -1 و $+1$ می باشد. برخلاف روش تنحیف طیفی، تعداد $(+1)$ ها و (-1) ها مساوی نیست. $(+1)$ ها المانهایی هستند که به زیردامنه اول و (-1) ها به المانی مریبوطند که به زیردامنه دوم تعلق می گیرند.

برای اینکه دو زیردامنه حتی الامکان هم وزن باشند، باید Z در رابطه زیر کمینه گردد:

$$\text{Min. } Z = |M^T x| \quad (13)$$

مجموع وزن لبه های فصل مشترک بین زیردامنه ها به صورت زیر حساب می شود:

$$|c(x)| = \frac{1}{4} \sum_{(i,j) \in E} (x_i - x_j)^2 e_{ij} \quad (14)$$

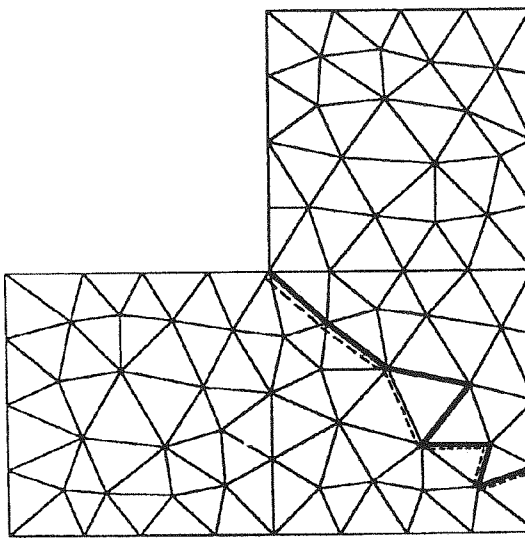
و به راحتی می توان صحت رابطه زیر را نشان داد:

$$|c(x)| = \frac{1}{4} x^T W x \quad (15)$$

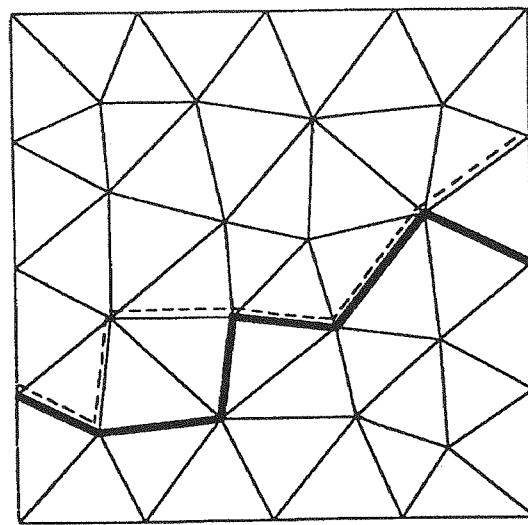
برای اینکه ملاک های بهینگی برقرار شوند، روابط (13) و (15) باید به طور همزمان کمینه شود، که معادل با کمینه شدن تابع جریمه زیر است:

$$Z = \frac{1}{4} x^T w x + r |M^T x| \quad (16)$$

۲، پارامتر جریمه است، که معمولاً برابر واحد در نظر گرفته می شود، به جای جزء دوم، می توان از مربع آن



شکل (۹) یک دامنه L شکل.



شکل (۸) یک دامنه مربع شکل.

جدول (۳) افزارهای حاصل از چهار مود اول (رابطه ۲۱).

شماره مقدار ویژه	λ	(۱) فصل مشترک	(۲) اختلاف وزن	(۲) + (۱)
1	0.0088	17	8	25
2*	0.0181	17	6	23
3	0.0373	22	4	26
4	0.0485	23	2	25

جدول (۱) افزارهای به دست آمده از چهار مود اول (رابطه ۲۱).

شماره مقدار ویژه	λ	(۱) فصل مشترک	(۲) اختلاف وزن	(۲) + (۱)
1	0.0404	15	24	39
2	0.0472	10	6	16
3	0.1214	16	14	30
4	0.1414	20	20	40

جدول (۲) مقایسه روش های SGM و ISB.

روش	(۱) اختلاف وزن	(۲) فصل مشترک	(۲) + (۱)
SGM	16	15	31
ISB	8	17	25

جدول (۲) مقایسه روش های SGM و ISB.

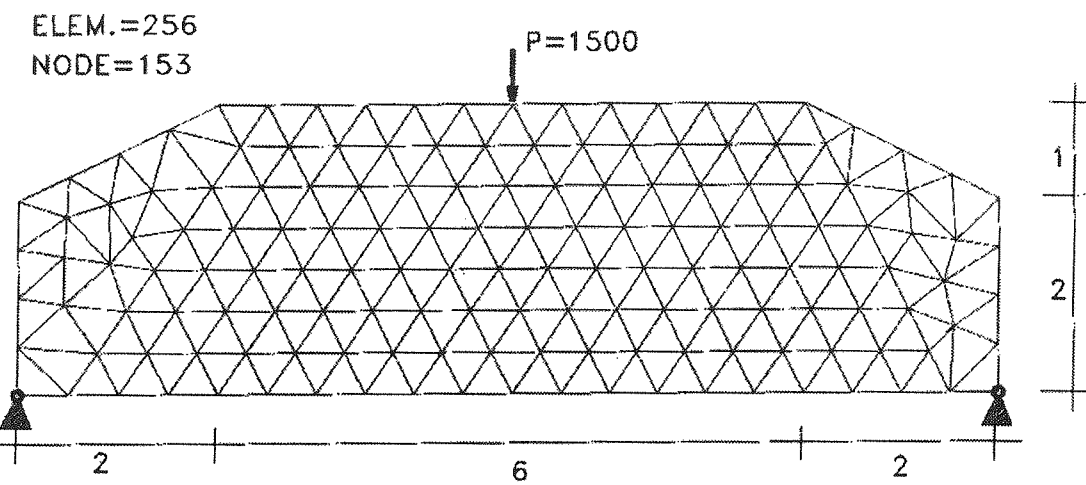
روش	(۱) اختلاف وزن	(۲) فصل مشترک	(۲) + (۱)
SGM	18	11	29
ISB	6	10	16

۶- مثال هایی برای افزار دامنه المان محدود توافقی به روش پیشنهادی

مثال ۱ - ۶ - یک تیر عمیق به صورت مستوه تنش مسطح مطابق شکل ۱۰ طرح شده است. این دامنه به NP = 4 قسمت افزار می شود. ضخامت تیر $h = 0.10\text{cm}$ و $E = 100000 \text{ kg/cm}^2$ و $\nu = 0.30$ فرض شده است. شبکه ریز و شبکه افزار شده به ترتیب در شکل های ۱۱ - الف و ۱۱ - ب ملاحظه می گردند.

منظور از اختلاف وزن، اختلاف در تعداد المان های دو زیر دامنه است.

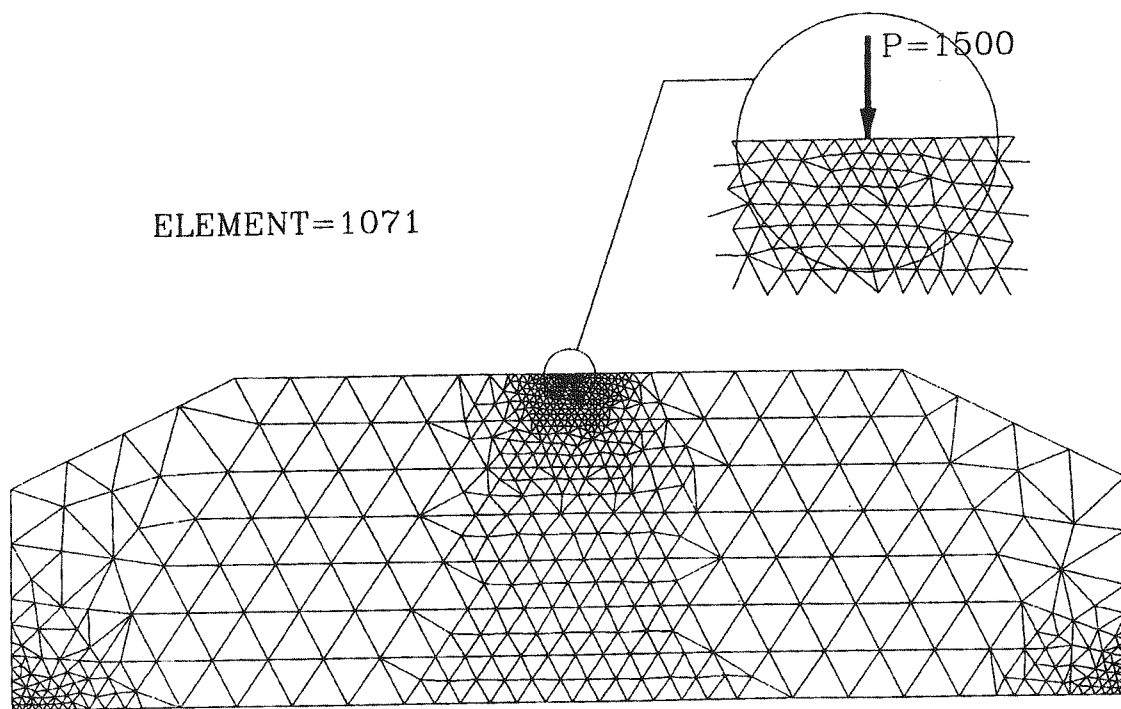
ب - یک دامنه L شکل از مرجع [4] در شکل ۹ نشان داده شده است. نتایج در جدول های ۳ و ۴ ارائه شده اند.



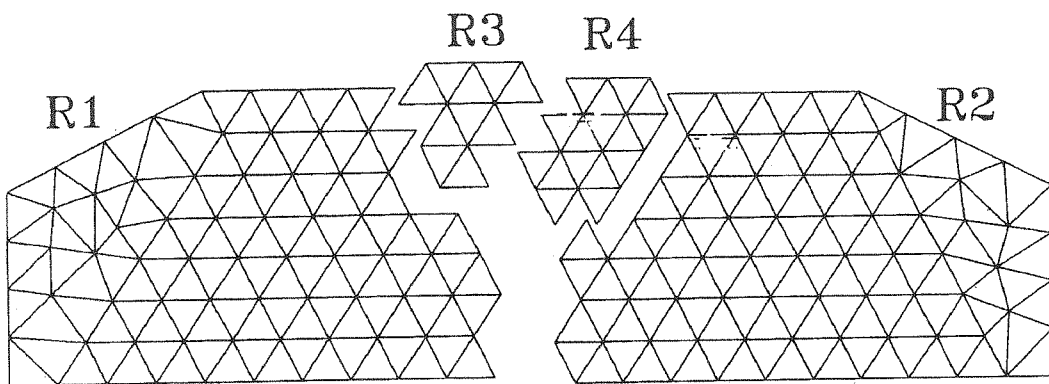
شکل (۱۰) شبکه درشت اولیه برای مدل سازی تیر عمیق.

مثال ۲ - ۶ - در شکل ۱۲ یک دامنه L شکل با شبکه درشت مثلثی پوشانده شده است. کلیه مشخصات فیزیکی مشابه مثال ۱-۶ است. شبکه ریز و شبکه درشت افزاران شده به ترتیب در شکل های ۱۲-الف و ۱۳-ب ملاحظه می گردد.

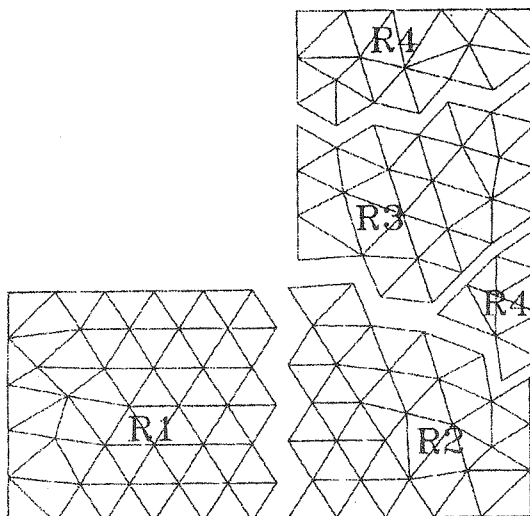
تعداد المان ریز در زیر دامنه های اول تا چهارم به ترتیب (263, 268, 271, 269) به دست آمده است و تعداد کل لبه واقع در فصل مشترک برابر ۵۹ می باشد. در تنصیف اول، مود دوم و در تنصیف دوم و سوم، مود اول تعیین کننده بوده است.



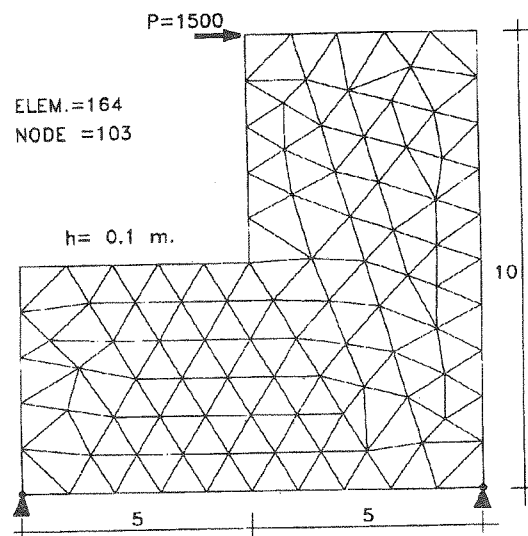
شکل (۱۱) (الف) شبکه ریز نهایی مربوط به مثال ۱-۶.



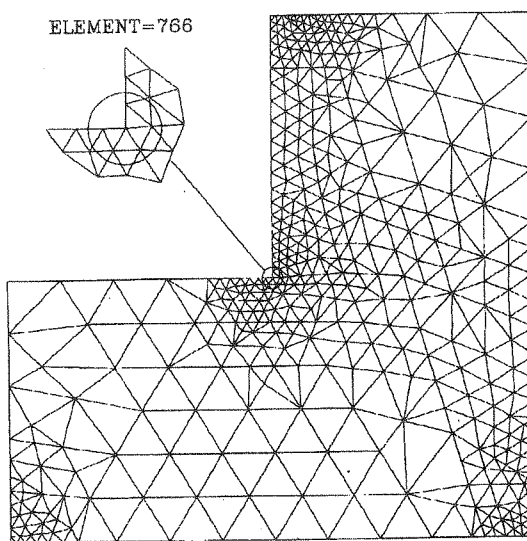
شکل (۱۱) ب) دامنه های افزای شده از شبکه ڈرست، ($NP = 4$)



شکل (۱۳) اف) شبکه ریز نهابی مربوط به مثال ۲

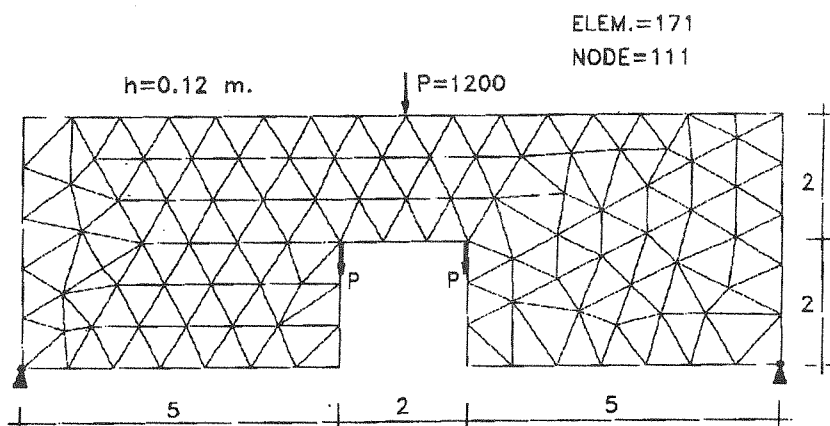


شکل (۱۲) یک مسئله نش مستوی با دامنه L شکل.



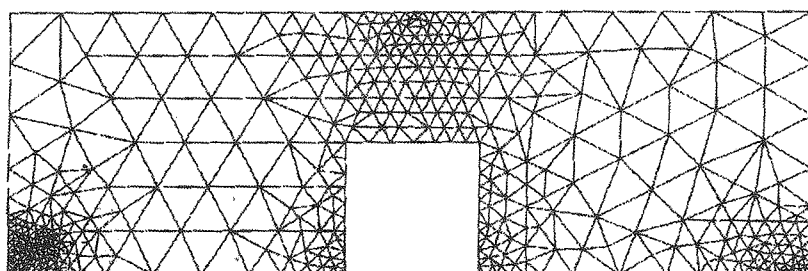
شکل (۱۳) ب) دامنه های افزای شده از شبکه ڈرست، ($NP = 4$)

تعداد المان های ریز در زیردامنه های اول تا چهارم به ترتیب (191, 192, 190, 193) به دست آمده است و تعداد کل لبه واقع در فصل مشترک برابر ۴۱ می باشد. برای تنصیف بار اول، مود اول و برای تنصیف های دوم و سوم به ترتیب مودهای اول و سوم تعیین کننده بوده اند.
مثال ۲ - ۶ - یک تیر عمیق با ناحیه توخالی در شکل ۱۴ ملاحظه می شود. ضخامت $h = 0.12\text{cm}$ و مشخصات فیزیکی تیر مشابه مثال ۱-۶ است. شبکه ریز و شبکه افزای شده به ترتیب در شکل های ۱۵-الف و ۱۵-ب ملاحظه می گردند.

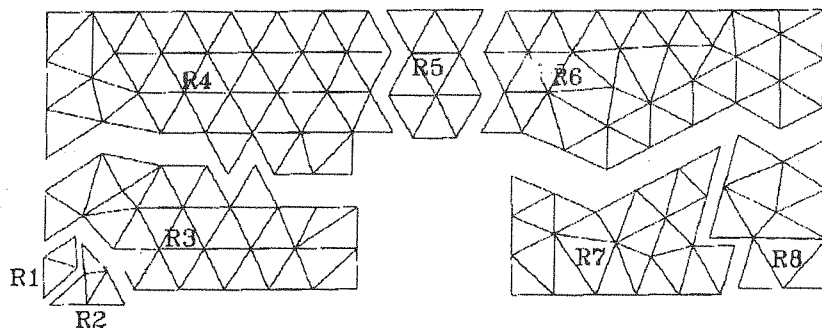


شکل (۱۴) یک تیر عمیق با ناحیه توپالی.

ELEMENT=829



شکل (۱۵) (الف) شبکه ریز نهایی مربوط به مثال ۳.



شکل (۱۵) (ب) دامنه های افزای شده از شبکه درشت، $(NP = 8)$

تعداد المان ریز در زیردامنهای اول تا هشتم به ترتیب (103, 105, 107, 104, 101, 104, 97, 108, 105) به دست آمده است و تعداد کل لبه واقع در فصل مشترک برابر ۷۰ می‌باشد. در تنصیف اول، مود اول تعیین کننده است. در تنصیف دوم و سوم به ترتیب مودهای اول و دوم حاکم هستند. در تنصیف چهارم مود دوم و در تنصیف‌های پنجم و ششم و هفتم مود اول تعیین کننده می‌باشند.

نتایج تحقیق

در این مقاله یک روش گراف تئوریک جبری برای تنصیف گراف‌های وزن دار ارائه گردید. سپس با استفاده از این روش گراف‌های وزن دار نظری شبکه المان محدود توافقی افزاراند. این روش با روش متداول دیگری موسوم به SGM که در آن از الگوریتم ژنتیک برای تنصیف استفاده می‌شود، مقایسه گردید. بررسی و مثال‌ها نشان می‌دهد که تنصیف به دست آمده از این روش بسیار خوب بوده و از چند نظر نسبت به روش

مراجع

- 1 - Subdomain Generation Method
- 2 - Simon and Pothen
- 3 -Recursive Spectral Bisection
- 4 - Dual or Associate
- 5 - Fiedler vector
- 6 - Lanczos
- 7 - Associate Graph

- [1] O.C. Zienkiewicz, The Finite Element Method, Vol. 1, McGraw-Hill, 1989.
- [2] A. I. Khan and B.H.V. Topping, Parallel adaptive mesh generation, Computing Systems in Engineering, Vol. 2, No. 1, 75-102, 1991.
- [3] A. I. Khan and B. H. V. Topping, Subdomain generation for parallel finite element analysis, Computing Systems in Engineering., Vol. 4, Nos 4-6, 473-488, 1993.
- [4] B. H. V. Topping and J. Sziveri, Parallel subdomain generation method, Civil-Comp. Press. Edinburgh, U.K., 449-457, 1995.
- [5] H. D. Simon, Partitioning of unstructured problems for parallel processing, Computing Systems in Engineering, 2, Nos2/3, 135-148, 1991.
- [6] A. Pothen, H. D. Simon and K. P. Liou, Partitioning sparse matrices with eigenvectors of graphs, SIAM J. Matrix Anal. Appl., 11, 430 - 452, 1990.
- [7] J. H. Wilkinson, The Algebraic Eigenvalue Problem, Clarendon Press, Oxford, 1965.
- [8] Z. Johan, K. K. Mathur and S. L. Johnson, Scalability of finite element applications on distributed-memory parallel computers, Comput, Meths Appl. Mech. Eng., 119, 61-72, 1994.
- [9] A. Kaveh and A. Davaran, Spectral bisection of adaptive finite element meshes for parallel processing, to appear in Comput. Struct., 1998.
- [10] A. Kaveh, Structural Mechanics; Graph and Matrix Methods, RSP (John Wiley), 2nd ed.,U.K., 1995.
- [11] A. Kaveh, Optimal Structural Analysis, RSP (John Wiley), U.K. 1997.